

лографич. осей относительно \mathbf{H} и от наличия у ядер решётки квадрупольного электрического момента.

Мюоний (Mu). При торможении в веществе положит. мюоны, подхватывая электроны, образуют связанное состояние (μ^+e^-) , подобное атому водорода. В большинстве веществ такой атом живёт слишком мало для регистрации времени ($\sim 10^{-11}$ с), т. к. мюон быстро попадет в окружение частиц со скомпенсиров. электронами спинами. Однако в нек-рых полупроводниках и дизлектиках этот Mu живёт достаточно долго и может быть обнаружен.

Оси, состояние мюония в общем случае является суммацией 4 состояний, отвечающих разл. комбинациям спинов электрона и мюона. Правила отбора помагн. квантовому числу приводят к тому, что в выражение $P(t)$ для поперечногомагн. поля входят 4 частоты. Зависимость $P(t)$ упрощается, если внеш. поле \mathbf{H} мало по сравнению с полем, создаваемыммагн. моментом мюона на связанном электроне. В этом случае две частоты, близкие по величине частоте сверхтонкого расщепления ω_0 , определяемой плотностью волновой ф-ции электрона на мюоне в системе (μ^+e^-) , обычно не детектируются (в вакууме $\omega_0 \approx 4463$ Гц). Оставшиеся 2 частоты могут быть зарегистрированы.

На рис. 3 показана т. н. двухчастотная прецессия спина мюона в кварце:

$$N(t) = N_0 \exp(-t/\tau_{\text{Mu}})[1 + aP(t)];$$

$$P(t) = \frac{1}{2} \exp(-t/\tau_{\text{Mu}}) \cos \Omega t \cdot \cos \omega t.$$

Здесь τ_{Mu} —ср. время жизни связанного состояния (μ^+e^-) в кварце ($\sim 1,5 \cdot 10^{-6}$ с), ω — частота ларморов-

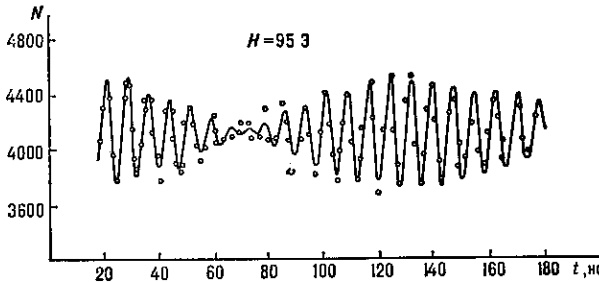


Рис. 3. «Двухчастотная» прецессия спина мюона в плавленном кварце.

ской прецессии мюония, $\Omega = \omega^2/\omega_0^2$. Измеренное в кварце значение ω_0 практически совпадает с величиной сверхтонкого расщепления для мюония в вакууме. Для мн. полупроводников ω_0 заметно отличается от вакуумного. В Ge и Si обнаружено по 2 типа связанных состояний (μ^+e^-) .

Эксперименты при $\mathbf{H} = 0$ и $\mathbf{H} \parallel \sigma_\mu$. На рис. 4 показан вид зависимости $P(t)$, измеренной в сверхпроводящем состоянии сплава Nb₃Al при диполь-дипольном взаимодействии мюонов с ядрами решётки в отсутствие диффузии мюонов. Внеш. поле \mathbf{H} в образце полностью отсутствует из-за Мейснера эффекта. Релаксация обусловлена взаимодействием мюонов смагн. моментами ядер кристаллич. решётки. Эксперим. зависимость описывается ф-цией Кубо — Тояба:

$$P(t) = \frac{1}{3} + \frac{2}{3}(1 - \delta^2 t^2) \exp(-\delta^2 t^2/2),$$

при выводе к-рой предполагается гауссовский закон распределения внутр.магн. полей в местах локализации мюонов со среднеквадратичным отклонением $\sqrt{\langle \Delta H^2 \rangle}$:

$$\delta^2 = \frac{1}{3} \left(\frac{e}{mc} \right)^2 \langle \Delta H^2 \rangle.$$

平淡ый выход на значение $1/3$ при $t \rightarrow \infty$ — объясняется прецессией спинов первоначально поляризованных мюонов визотропных, постоянных во временимагн. полях, описываемых гауссовским распределением. Найденное в Nb₃Al значение величины δ соответствует среднеквадратичной величине поля на мюоне $\sqrt{\langle \Delta H^2 \rangle} = 8,2$ Э.

Метод вулевого поля используется для изучения медленных процессов изменения локальных полей на мюонах. Зависимость $P(t)$ в случае $H = 0$ более чувствительна к малым значениям t , чем в случае $H \perp \sigma_\mu$, а также в тех случаях, когда возмущающее воздействие внеш. поля является фактором, разрушающим изучаемое явление.

До 1986 поля $H \parallel \sigma_\mu$ обычно использовались для того, чтобы замедлить и сделать наблюдаемыми процессы быстрой деполяризации мюонов за счёт взаимодействия с электронами среды. Дальнейшим развитием метода MCP послужили эксперименты по определению расщепления энергетических уровней мюона в веществе, напр. при взаимодействии с квадрупольными моментами ядер решётки (см. Ядерный квадрупольный резонанс). Когда энергия зеемановского расщепления для мюона при увеличении H сравнивается с суммой зеемановской энергии ядра и энергии квадрупольного расщепления, становится возможным взаимный перевод спинов мюона и ядра (flip — flop). При этом деполяризация резко ускоряется. Зависимость скорости релаксации Λ от внеш. поля H носит резонансный характер.

Технические средства. Метод MCP используется практически на всех ускорителях, имеющих пучки поляризов. мюонов низких энергий, в т. ч. на всех мезонных фабриках. Современная MCP-установка — автоматизиров. система, управляемая ЭВМ. Мюоны и позитроны регистрируются телескопами сцинтиляц. детекторов. Позитронных телескопов обычно два — вдоль и против хода пучка продольно-поляризов. мюонов. Логика идентификации мюонов и позитронов призвана выделять истинные события распада из стихастич. потоков мюонов пучка и позитронов при наличии фоновых частиц. Использование многонитевых пропорциональных камер для определения координат точки распада мюона позволяет исследовать неск. образцов одновременно и практически полностью подавить искажения MCP-спектров, возникающие из-за регистрации позитронов от распада мюонов, остановившихся вне исследуемого образца, и фона.

Наряду с регистрацией и кодированием времён жизни отд. мюонов, на пучках с импульсной структурой используется т. н. аналоговый съём информации. С детектора, регистрирующего интегральный спектр позитронов от всех мюонов одного импульса (обычно черенковский счётчик), снимается сигнал, форма к-рого кодируется и заносится в память ЭВМ. Итоговая гистограмма получается суммированием сигналов от отд. «пачек» мюонов (такой способ не накладывает ограничений на интенсивность пучков мюонов).

На импульсных пучках мюонов выполняются также стробоскопич. эксперименты и эксперименты в скрещенныхмагн. полях ($H_1 \perp \sigma_\mu$ и $H_2 \parallel \sigma_\mu$). Стробоскопич. способ основан на поиске резонанса в зависимости интегрального счёта позитронов от внеш.магн. поля. Резонанс наблюдается при совпадении частоты ларморовской прецессии спина мюона с частотой следования «пачек» мюонов. Эксперименты в скрещенных полях но-

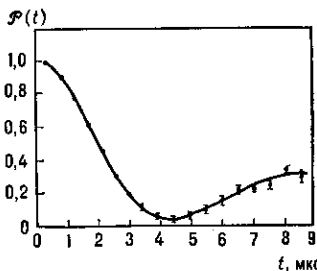


Рис. 4. Релаксация спина мюона в сверхпроводящем состоянии сплава Nb₃Al.